

УДК 539.1.074.822.3

**ВРЕМЯАМПЛИТУДНЫЕ ХАРАКТЕРИСТИКИ  
ТОНКОСТЕННЫХ ДРЕЙФОВЫХ ТРУБОК (СТРОУ)  
ДЛЯ ГАЗОВЫХ СМЕСЕЙ ArCO<sub>2</sub>  
С ДОБАВКАМИ CF<sub>4</sub> И O<sub>2</sub>**

*В. М. Луценко, В. В. Мялковский, В. Д. Пешехонов*

Объединенный институт ядерных исследований, Дубна

Приведены результаты исследований времязамплидудных характеристик тонкостенных дрейфовых трубок (строу) различного диаметра для газовых смесей ArCO<sub>2</sub> с добавками CF<sub>4</sub> и O<sub>2</sub>. Показано существенное уменьшение времени чувствительности строу при добавке CF<sub>4</sub>, особенно с увеличением диаметра строу. Добавка O<sub>2</sub> незначительно влияет на временные параметры строу. Добавки CF<sub>4</sub> или O<sub>2</sub>, обладающие так называемыми чистящими свойствами, представляют интерес для оптимизации параметров детекторов с малым временем чувствительности в условиях высоких загрузок.

Results of researches of time-amplitude characteristics of thin-walled drift tubes (straws) of various diameter for gas mixtures ArCO<sub>2</sub> with additives CF<sub>4</sub> and O<sub>2</sub> are described. Essential time of sensitivity reduction for additive CF<sub>4</sub> for straws is shown, especially with increase of their diameter. Additive O<sub>2</sub> influences time parameters of straws insignificantly. Additive CF<sub>4</sub> or O<sub>2</sub>, possessing the so-called cleaning properties, is of interest for detectors with small sensitivity time in conditions of high loadings.

**ВВЕДЕНИЕ**

В настоящее время в экспериментах на ускорителях все шире применяются детекторы на основе тонкостенных дрейфовых трубок (строу) как для получения трековой информации о заряженных частицах, так и для идентификации электронов и пионов. В зависимости от целей и задач конкретного эксперимента необходима оптимизация времязамплидудных параметров детекторов, определяемых в значительной мере газовым наполнением детекторов.

Целью данной работы является изучение влияния на эти характеристики добавок CF<sub>4</sub> и O<sub>2</sub> в газовую смесь ArCO<sub>2</sub> для строу различного диаметра, используемых, в частности, в создаваемой установке эксперимента ATLAS [1] на LHC и в действующем спектрометре COMPASS [2] на SPS в ЦЕРН.

**1. УСТАНОВКА**

Исследования времязамплидудных характеристик строу различного диаметра проводились с использованием источников  $\beta$ -электронов  $^{106}\text{Ru}$  и  $\gamma$ -квантов  $^{55}\text{Fe}$ . В первом случае с помощью сцинтиляционных счетчиков отбирались срабатывания строу от быстрых  $\beta$ -электронов. Для измерений применялись строу диаметром 4; 6; 9,56 и 15 мм,

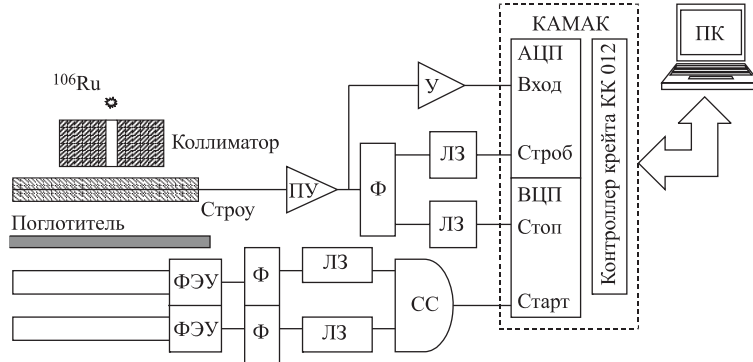


Рис. 1. Блок-схема установки: ПУ — предварительный усилитель; У — усилитель; Ф — формирователь; ЛЗ — линия задержки; СС — схема совпадений

изготовленные тождественным способом из каптоновой пленки [3]. Толщина стенок строу была около 70 мкм. В качестве анода использовалась золоченая вольфрамовая проволока диаметром 30 мкм. Сигналы считывались с анодов исследуемых строу быстрым токовым усилителем с входным сопротивлением 300 Ом. Порог чувствительности регистрирующей электроники соответствовал 750 эВ.

На рис. 1 приведена схема экспериментальной установки. Исследуемый прототип содержит слой склеенных между собой разных строу — по два строу каждого диаметра. Анодные проволоки каждой строу находятся в единой горизонтальной плоскости. Все строу продуваются со скоростью 10 л/ч газовой смесью, поступающей в общий для них газовый коллектор. Прототип размещен над сцинтилляционными счетчиками, дающими стартовые сигналы при временных измерениях. Над счетчиками установлен стеклотекстолитовый поглотитель с целью обрезания медленной составляющей пучка  $\beta$ -электронов. Для облучения строу при измерении временных характеристик был изготовлен специальный щелевой коллиматор из свинца, обеспечивающий в плоскости анодных проволок ширину пучка по основанию около 800 мкм. Специальное устройство с микрометрическим винтом обеспечивало перемещение коллиматора с точностью позиционирования центра его щели, расположенной параллельно анодной проволоке, не хуже 50 мкм.

Использовалась считающая электроника в стандарте КАМАК; получаемые данные поступали на персональный компьютер через контроллер крейта КК 012.

## 2. АМПЛИТУДНЫЕ ХАРАКТЕРИСТИКИ

Амплитудные спектры источника  $\gamma$ -квантов  $^{55}\text{Fe}$  (5,9 кэВ) на исследуемых строу измерялись при равномерном облучении их по диаметру. Величина анодного напряжения исследуемых строу при всех этих измерениях соответствовала газовому усилению  $G = 1,4 \cdot 10^4$ .

На рис. 2 показаны расчетные значения напряженности электрического поля  $E$  в зависимости от расстояния  $r_i$  для исследуемых строу с радиусом  $r_s$ :

$$E = (1/r_i)V(1 - \ln(r_i/r_a)/\ln(r_s/r_a)),$$

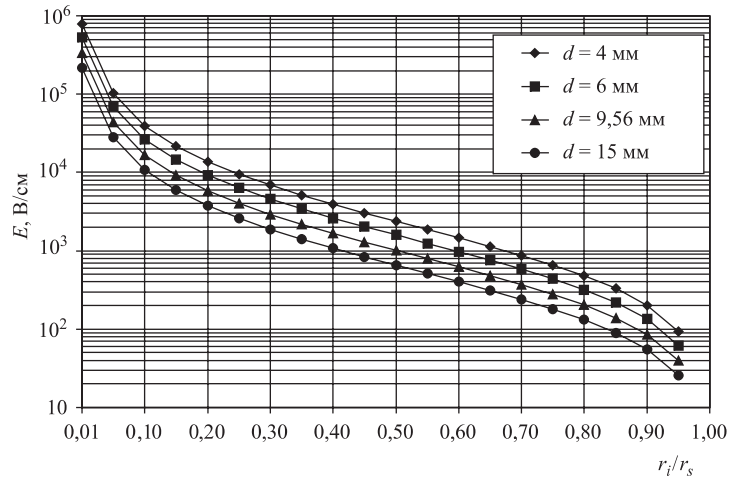


Рис. 2. Значения напряженности электрического поля вдоль радиуса строу диаметром 4; 6; 9,56 и 15 мм для газовой смеси ArCO<sub>2</sub> (70/30). Значения анодного напряжения соответствуют  $G = 1,4 \cdot 10^4$  для каждого строу

где  $V$  — анодное напряжение строу;  $r_a$  — радиус анодной проволоки. Видно, что с увеличением диаметра строу для обеспечения одинакового значения величины газового усиления необходимо некоторое увеличение напряженности электрического поля. Кроме того, с возрастанием диаметра строу увеличивается область низкой напряженности. Так, для строу диаметром 4 мм напряженность поля менее 100 В/см имеет место вблизи поверхности катода на расстоянии менее 3 % радиуса строу. Для строу диаметром 15 мм область напряженности поля менее 100 В/см увеличивается до 15 % радиуса.

На рис. 3–6 приведены амплитудные спектры источника  $\gamma$ -квантов <sup>55</sup>Fe (5,9 кэВ) для строу диаметром 4; 6; 9,56 и 15 мм при продуве их газовой смесью ArCO<sub>2</sub> с добавками CF<sub>4</sub> (рис. 3, *a* — 6, *a*) и с добавками O<sub>2</sub> (рис. 3, *б* — 6, *б*). Увеличение на 1 % парциального давления CF<sub>4</sub> в газовой смеси ухудшает энергетическое разрешение на величину около 0,7 % (табл. 1). Добавки с определенным парциальным давлением CF<sub>4</sub> практически не влияют на энергетическое разрешение строу диаметром от 4 до 15 мм, тогда

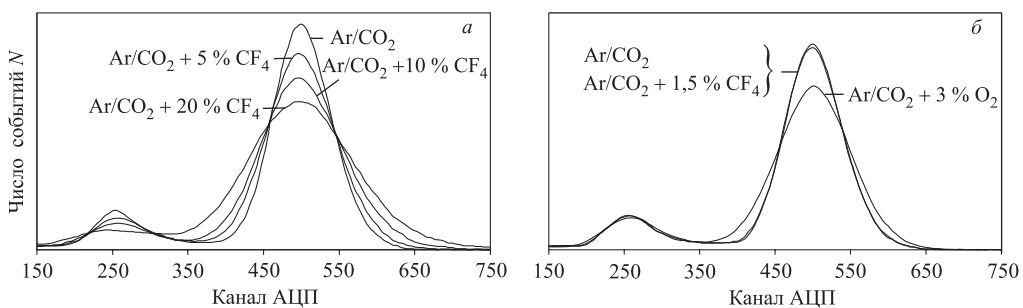


Рис. 3. Амплитудный спектр строу диаметром 4 мм при регистрации  $\gamma$ -квантов с энергией 5,9 кэВ. Газовая смесь ArCO<sub>2</sub> с добавками CF<sub>4</sub> (*а*) и O<sub>2</sub> (*б*),  $G = 1,4 \cdot 10^4$

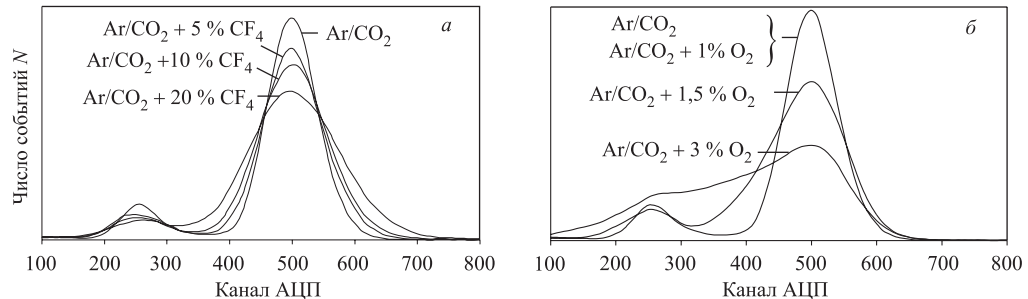


Рис. 4. Амплитудный спектр строу диаметром 6 мм при регистрации  $\gamma$ -квантов с энергией 5,9 кэВ. Газовая смесь ArCO<sub>2</sub> с добавками CF<sub>4</sub> (а) и O<sub>2</sub> (б),  $G = 1,4 \cdot 10^4$

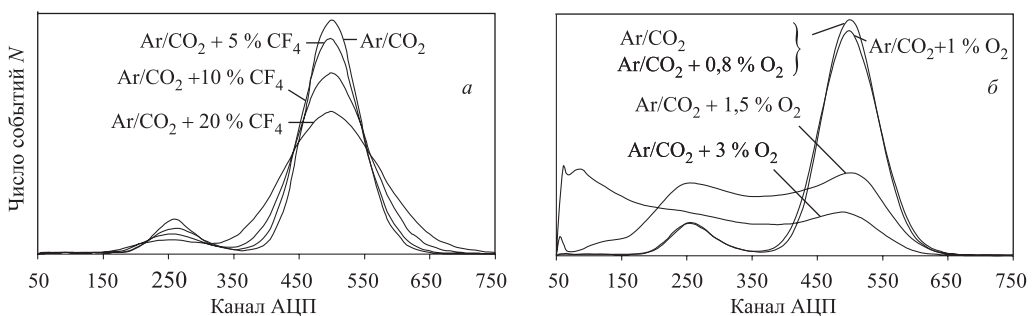


Рис. 5. Амплитудный спектр строу диаметром 9,56 мм при регистрации  $\gamma$ -квантов с энергией 5,9 кэВ. Газовая смесь ArCO<sub>2</sub> с добавками CF<sub>4</sub> (а) и O<sub>2</sub> (б),  $G = 1,4 \cdot 10^4$

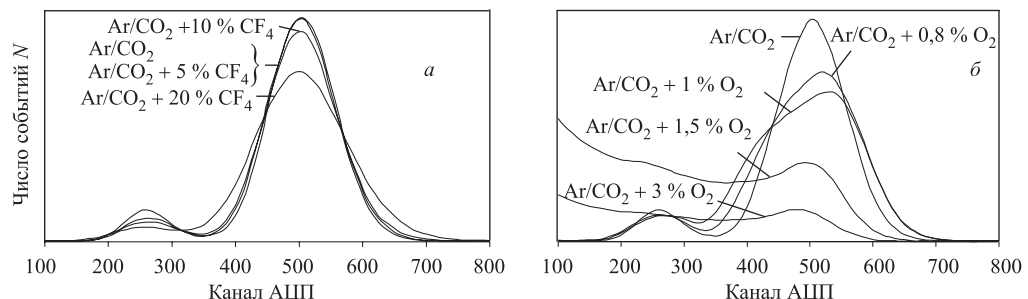


Рис. 6. Амплитудный спектр строу диаметром 15 мм при регистрации  $\gamma$ -квантов с энергией 5,9 кэВ. Газовая смесь ArCO<sub>2</sub> с добавками CF<sub>4</sub> (а) и O<sub>2</sub> (б),  $G = 1,4 \cdot 10^4$

как в случае смеси ArCO<sub>2</sub> без CF<sub>4</sub> энергетическое разрешение сохраняется для строу диаметром до 10 мм. Добавка CF<sub>4</sub> не оказывает влияния на эффективность регистрации как  $\gamma$ -квантов, так и  $\beta$ -электронов.

Добавка до 1,5 % O<sub>2</sub> практически не влияет на энергетическое разрешение строу диаметром 4 мм. С увеличением парциального давления O<sub>2</sub> и/или диаметра строу энерге-

тическое разрешение резко ухудшается и появляется неэффективность регистрации событий. Видно, что строу диаметром до 10 мм могут работать без потери эффективности и ухудшения энергетического разрешения при добавке до 1 % O<sub>2</sub>.

**Таблица 1. Энергетическое разрешение строу диаметром  $d$  при регистрации  $\gamma$ -квантов с энергией 5,9 кэВ.  $G = 1,4 \cdot 10^4$**

Газовая смесь	Процентное содержание	$dE/E, \%$			
		$d = 4$ мм	$d = 6$ мм	$d = 9,56$ мм	$d = 15$ мм
Ar/CO <sub>2</sub>	70/30	18,6	18,8	19,2	26
Ar/CO <sub>2</sub> /CF <sub>4</sub>	63/32/5	22,5	22,5	22	25
Ar/CO <sub>2</sub> /CF <sub>4</sub>	63/27/10	26	26,4	26	27
Ar/CO <sub>2</sub> /CF <sub>4</sub>	63/17/20	33	33,5	33,6	34,5
Ar/CO <sub>2</sub> /O <sub>2</sub>	(70/30)/0,8	18	18,8	21	35,5
Ar/CO <sub>2</sub> /O <sub>2</sub>	(70/30)/1	18	19	21,3	41,3
Ar/CO <sub>2</sub> /O <sub>2</sub>	(70/30)/1,5	19,4	28	—	—
Ar/CO <sub>2</sub> /O <sub>2</sub>	(70/30)/3	23	—	—	—

В табл. 1 приведены измеренные значения величин энергетического разрешения строу различного диаметра при регистрации  $\gamma$ -квантов с энергией 5,9 кэВ при газовом усилении  $G = 1,4 \cdot 10^4$ .

### 3. ВРЕМЕННЫЕ ХАРАКТЕРИСТИКИ

Временные параметры измерялись при облучении строу источником <sup>106</sup>Ru при напряжении, соответствующем газовому усилению  $G = 10^5$ . Строу различного диаметра продувались газовой смесью с различным парциальным давлением CF<sub>4</sub> и O<sub>2</sub>. При этом они облучались равномерно вдоль диаметра. На рис. 7 представлены зависимости макси-

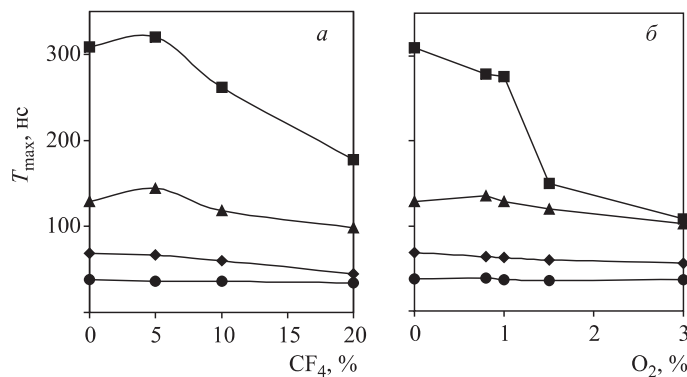


Рис. 7. Максимальное время дрейфа электронов в зависимости от парциального давления CF<sub>4</sub> (a) или O<sub>2</sub> (б) в газовой смеси ArCO<sub>2</sub> (табл. 2 и 3): ■ — для строу диаметром 15 мм; ▲ — 9,56 мм; ◆ — 6 мм; ● — 4 мм

**Таблица 2. Время дрейфа электронов  $T_{\max}$  для различного процентного содержания  $\text{CF}_4$  в газовой смеси  $\text{ArCO}_2\text{CF}_4$**

Состав газовой смеси	$T_{\max}$ , нс			
	$d = 4$ мм	$d = 6$ мм	$d = 9,56$ мм	$d = 15$ мм
$\text{ArCO}_2$ (70/30)	38	68,4	129	309
$\text{ArCO}_2\text{CF}_4$ (63/32/5)	36,5	66,7	144	320
$\text{ArCO}_2\text{CF}_4$ (63/27/10)	36	60	119	262
$\text{ArCO}_2\text{CF}_4$ (63/17/20)	34	45	99	178

**Таблица 3. Время дрейфа электронов  $T_{\max}$  для различного процентного содержания добавки  $\text{O}_2$  в газовой смеси  $\text{ArCO}_2\text{O}_2$ , а также эффективность регистрации  $\gamma$ -квантов ( $\varepsilon_\gamma$ , %) в строу диаметром 4, 6, 9,56, 15 мм в случаях неполной их эффективности**

Состав газовой смеси	$T_{\max}$ , нс, и $\varepsilon_\gamma$ , % (в скобках) (в скобках)			
	$d = 4$ мм	$d = 6$ мм	$d = 9,56$ мм	$d = 15$ мм
$\text{ArCO}_2$ (70/30)	38	68,4	129	309
$\text{ArCO}_2\text{O}_2$ (70/30)/0,8	38,7	64,1	135 (99,7)	278,7 (78,3)
$\text{ArCO}_2\text{O}_2$ (70/30)/1	37	63,2 (99,6)	129 (89,9)	275,3 (72,6)
$\text{ArCO}_2\text{O}_2$ (70/30)/1,5	36,5	59,5 (99,4)	119,7 (70,1)	149,6 (62,6)
$\text{ArCO}_2\text{O}_2$ (70/30)/3	36	56,2 (99,3)	102,6 (66,6)	108,5 (59,6)

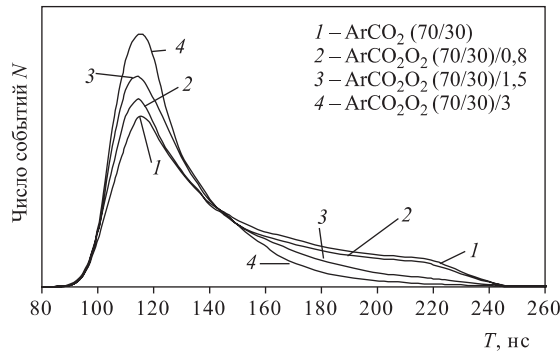


Рис. 8. Влияние парциального давления  $\text{O}_2$  на время дрейфа электронов в строу диаметром 9,56 мм при газовом усилении  $G = 10^5$

мального времени дрейфа  $T_{\max}$  электронов ионизации, равного времени чувствительности строу, от парциального давления добавок.

Добавка 20 %  $\text{CF}_4$  уменьшает время чувствительности на 10 % для строу диаметром 4 мм и на 42 % для строу диаметром 15 мм. Добавка  $\text{O}_2$  практически не влияет на время чувствительности строу при условии сохранения эффективности регистрации.

Значения максимальных времен дрейфа  $T_{\max}$  в строу приведены в табл. 2 и 3. Типичные временные спектры, полученные при равномерном облучении строу, показаны на рис. 8, 9.

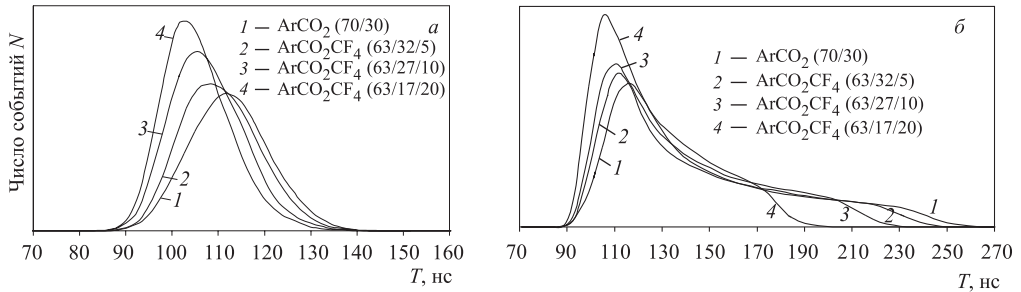


Рис. 9. Влияние парциального давления  $\text{CF}_4$  на время дрейфа электронов для строу диаметром 4 мм (а) и 9,56 мм (б)

Представленные на рис. 8 временные спектры показывают, что при использовании токового усилителя с входным сопротивлением 300 Ом добавка 3 %  $\text{O}_2$  приводит к уменьшению времени нарастания переднего фронта временных распределений в среднем до 3,5 нс.

Видно, что смесь с добавкой  $\text{CF}_4$  является более быстрым газом (рис. 9), так как нарастание переднего фронта распределений уменьшается на 7–8 нс с увеличением добавки  $\text{CF}_4$  от 0 до 20 %.

#### 4. СКОРОСТЬ ДРЕЙФА

Для оценки величины скорости дрейфа в различных точках вдоль радиуса строу проводилось их облучение  $\beta$ -источником  $^{106}\text{Ru}$  через щелевой коллиматор, расположенный параллельно анодным проволокам прототипа. Облучались строу диаметром 6, 9,56 и 15 мм, ширина пучка по основанию составляла около 0,8 мм.

На рис. 10 приведены типичные временные спектры в разных точках облучения по радиусу строу диаметром 9,56 мм для газовой смеси  $\text{ArCO}_2\text{CF}_4$  (63/17/20).

Зависимости центров тяжести временных спектров от расстояния  $r_i$  между центром коллиматора и анодной проволокой строу показаны на рис. 11. Так же как и приведенные

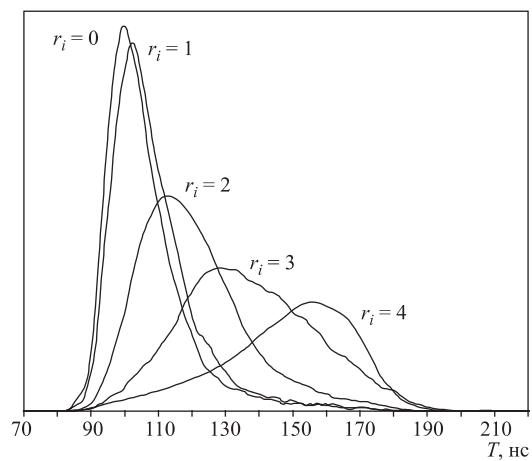


Рис. 10. Изменение положения центра тяжести пика временного спектра при облучении строу диаметром 9,56 мм в различных точках  $r_i$  (мм)

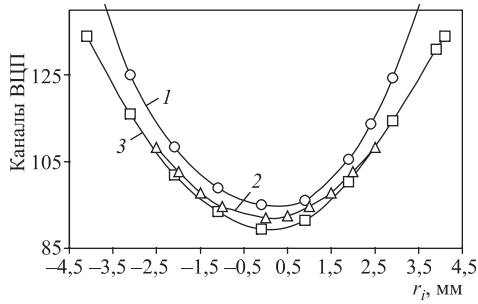


Рис. 11. Зависимость центров тяжести временных спектров от  $r_i$  для строу с  $d = 9,56$  мм. Газовые смеси: 1 —  $\text{ArCO}_2$  (70/30); 2 —  $\text{ArCO}_2\text{CF}_4$  (63/17/20); 3 —  $\text{ArCO}_2\text{O}_2$  (70/30)/3.  $G = 10^5$ . Цена канала ВЦП равна 1,14 нс

на рис. 9 временные спектры сигналов строу, полученные при их равномерном облучении по диаметру, эти зависимости говорят о более быстрых процессах сбора зарядов при добавлении в состав газовой смеси  $\text{CF}_4$ . Добавка  $\text{O}_2$  (кривая 2 на рис. 11) незначительно ускоряет сбор зарядов для малых дрейфовых расстояний, на которых еще не проявляется процесс захвата электронов, приводящий к большой неэффективности регистрации.

Оценка средней скорости дрейфа электронов в некоторых интервалах напряженности электрического поля  $\Delta E_i$  при облучении строу в разных точках вдоль их диаметра определялась выражением

$$\langle W_i \rangle = (r_i - r_{i-1}) / (M_i - M_{i-1}),$$

где  $r_i$  — расстояние от центра щелевого коллиматора до анодной проволоки строу;  $M_i$  — значение задержки центра тяжести пика соответствующего временного спектра относительно сигнала «старт» ВЦП. На рис. 12–14 приведены зависимости средней скорости дрейфа электронов от напряженности электрического поля для газовых смесей с добавками  $\text{CF}_4$  и  $\text{O}_2$  при газовом усилении  $G = 10^5$ . Видно, что для строу разного диаметра при одинаковой газовой смеси и в «точках» с одинаковым значением  $E$  средние значения скорости дрейфа электронов равны только в области высокой напряженности,

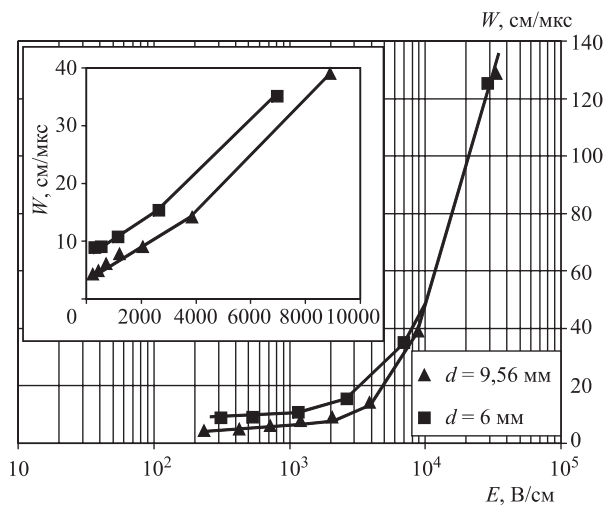


Рис. 12. Зависимости средней скорости дрейфа электронов от напряженности электрического поля  $E$  в строу диаметром 6 и 9,56 мм. Газовая смесь  $\text{ArCO}_2\text{O}_2$  (70/30)/3,  $G = 10^5$

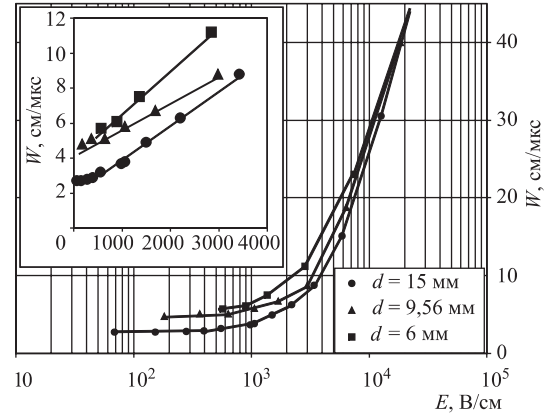


Рис. 13. Зависимости средней скорости дрейфа электронов от напряженности электрического поля  $E$  в строу диаметром 6; 9,56 и 15 мм. Газовая смесь  $\text{ArCO}_2\text{CF}_4$  (63/17/20),  $G = 10^5$

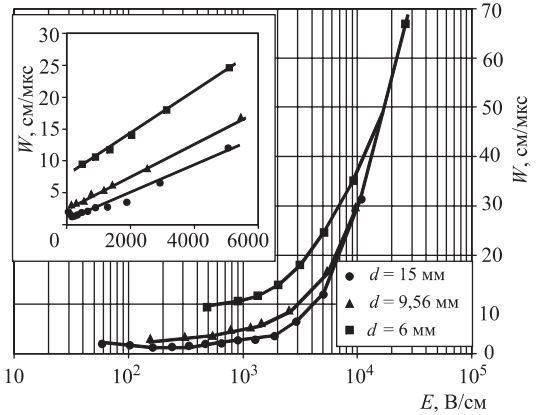


Рис. 14. Зависимости средней скорости дрейфа электронов от напряженности электрического поля  $E$  в строу диаметром 6, 9,56 и 15 мм. Газовая смесь  $\text{ArCO}_2$  (70/30),  $G = 10^5$

как результат того, что скорость дрейфа электронов  $W$  пропорциональна напряженности электрического поля в соответствии с выражением [4]

$$W \sim (E/P)^b, \text{ где } 1/2 < b < 1.$$

В области высокой напряженности поля  $b \sim 1/2$ , и в области низкой напряженности поля  $b$  приближается к 1.

## ЗАКЛЮЧЕНИЕ

Исследование времяамплитудных характеристик строу диаметром до 15 мм для смеси  $\text{ArCO}_2$  с добавками  $\text{CF}_4$  и  $\text{O}_2$  показало, что добавка  $\text{CF}_4$  уменьшает время чувствительности всех строу при сохранении эффективности регистрации, но с некоторым ухудшением энергетического разрешения.

Добавка  $\text{O}_2 \leqslant 1\%$  незначительно уменьшает время чувствительности строу диаметром до 10 мм, не влияя при этом на энергетическое разрешение и эффективность регистрации.

Для 15-мм строу добавка 0,8 % O<sub>2</sub> снижает эффективность регистрации приблизительно на 20 %. Добавка O<sub>2</sub> до 3 % возможна только при работе со строу диаметром не более 4 мм с незначительным ухудшением энергетического разрешения.

Для получения высокого пространственного разрешения с использованием строу различного диаметра необходимо определять корреляционные времязкоординатные коэффициенты для строу каждого диаметра независимо.

#### СПИСОК ЛИТЕРАТУРЫ

1. *ATLAS Collab.* ATLAS Inner Detector Technical Design Report. CERN/LHCC/97-16. 1997.
2. COMPASS. CERN/SPSLC/96-14, SPSLC/P297. 1996.
3. *Bychkov V. N. et al.* Construction and Manufacture of Large Size Straw-Chambers of the COMPASS Spectrometer Tracking System // Part. Nucl., Lett. 2002. No. 2[111].
4. *Калашникова В. И., Козодаев М. С.* Детекторы элементарных частиц. М.: Наука, 1966.

Получено 18 августа 2004 г.